

### III-34 異方圧密した粘土の強度特性(第Ⅱ報)

日本大学理学部 正会員 滝川美利  
 同 正会員 ○ 中山晴幸  
 同 学生員 鳥光照雄

#### 1. はじめに

半無限に広がる一様な地盤内の応力状態は、横方向に変位を生じない静止土圧状態( $K_0$ 状態)である。ところが盛土など局所的な載荷を受けた地盤内では、場所によって $K_0$ 状態以外の異方応力も作用し、その応力異方性は圧密へ強度特性に少なからず影響を与えていると考えて良いであろう。筆者らは異方応力下での圧密に注目し、せん断ひずみを受けながら圧密された粘土が、圧密後の強度特性にどのような影響を与えるかについて実験的に調べている。前回の報告では、圧密過程および圧密後の強度増加に圧密時の異方応力条件( $K = \sigma_r / \sigma_a$ )の影響が現われることを示した。今回はその影響を、異方圧密された粘土が圧密時に異方応力条件( $K = \sigma_r / \sigma_a$ )で記憶するという考え方で整理し、その結果について報告する。

#### 2. 実験条件

試料は前回と同じく、カオリン粘土( $G_s = 2.674, W_L = 52.8\%, I_p = 28.8\%$ )、クラウン粘土( $G_s = 2.633, W_L = 99.9\%, I_p = 66.0\%$ )の2種と、今回はカオリン粘土に $\text{Na}^+$ を添加した試料( $\text{Na}^+$ -カオリン粘土)も検討に加えたため合計3種類、実験方法については前回と同様である。

圧密時の応力条件は圧密応力比 $K = \sigma_r / \sigma_a$ として、 $K = 1.0, 0.7, 0.4$ および $K_0$ の4種類を設定した。 $K$ と $\eta = \delta / \delta_m$ との関係は、 $\eta = 3(1-K)/(1+2K)$ となる。異方圧密開始前の初期含水比および間げす比は各供試体についてほぼ一定で、カオリン粘土 $W = 39\% \pm 1\%$

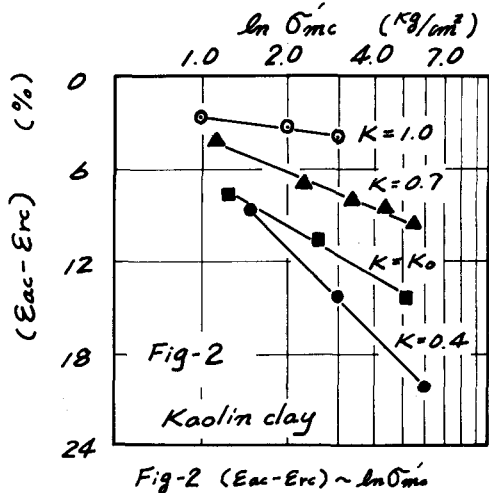
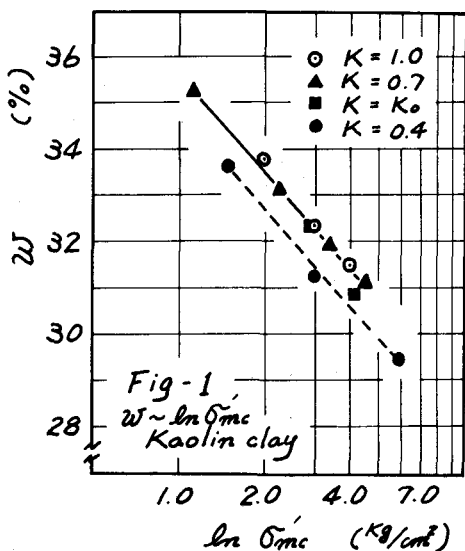


Fig-2  $(Eac - Era) \sim \ln \sigma'_{uc}$

クラウン粘土 $W = 68\%, e = 1.92$ であった。

#### 3. 圧密における異方応力条件の影響

各供試体の初期構造が一定であると仮定すれば、圧密時およびせん断過程における挙動の変化は圧密応力比 $K$ の影響であると考えることができる。その影響の程度は $K$ あるいは $\eta$ の関数として表示できるよう。

Fig-1は平均圧密圧力 $\sigma'_{mc}$ と含水比 $W$ について、またFig-2は $\sigma'_{mc}$ と圧密時の偏差ひずみ $(Eac - Era)$ を各圧密応力比をパラメータにして整理した結果を示す。 $W - \ln \sigma'_{mc}$ 関係は近乎平行な直線群となることが認められるが、あまり顕著な差を示さない。それに対して $(Eac - Era) \sim \ln \sigma'_{mc}$ 関係は $K = \sigma_r / \sigma_a$ が小さな値にほどほど傾きが大きくなる。この結果は当然予想できるもので、軽部<sup>3)</sup>、安原<sup>2)</sup>も指摘している。

圧密時の偏差ひずみには体積変化のほかに形状変化も含まれるので、 $K$ は体積変化より形状変化に影響することを示すよ"一例である。この事実は圧密時にせん断応力を受けて粘土粒子がせん断面に沿う、いわゆる粒子再配列を引き越す要因にならと思える。

風間他によれば、圧密試験におけるカオリיןの粒子配向は、最大生応力に対して直角に配向する程度が $40\%/\text{cm}^2 \sim 60\%$ である報告してあるが、この場合、せん断応力による形状変化でせん断応力が最大となる面の相対的なズレとしまえれば、低い圧力でも再配列可能であると考えてもよ"であろう。したがって、圧密中の $K$ あるいは $M$ の記憶は、せん断面附近における粒子配向として保存されると仮定 $\approx$ 。

#### 4. セン断における異方応力条件の影響

Schofield, Wroth<sup>5)</sup>らは等方、 $K_0$ 圧密された粘土が同一の Yield Surface を持つと考え、統一的な整理をしている。そこでは各圧密応力比条件の Stress path を比較すると、等方圧密( $K=1.0$ )で作成した供試体が、せん断過程中に明らかに"引張り"を生じているのは比べ、とくに $K=K_0$ 、0.4 のものは、ほとんびり引張りを生ぜずに破壊に至っており、また各条件での含水比がほぼ等しい供試体を運んだFig-3<sup>6)</sup>す、Yield Surface の面が $K$ が低い値ほど低くなる傾向を得た。

その傾向はまた、限界状態 $\gamma_{\max}$ の $\gamma_{\max} = M$ に現れる。 $M$ を粘土の総合的な摩擦係数と解釈すれば、圧密

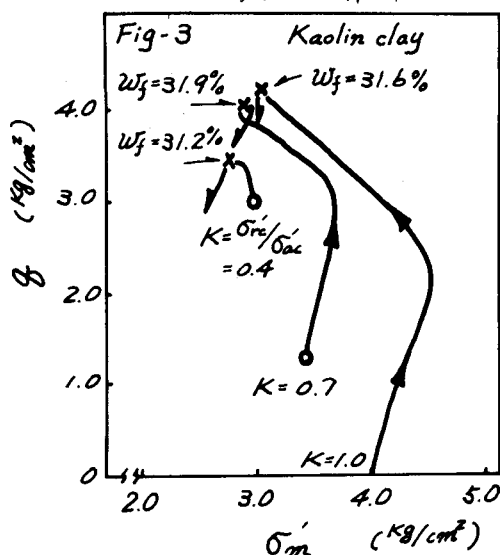


Fig-3  $W_f$ 一定面における Stress path

\*中に記憶された異方圧密条件は当然 $M$ にも影響するはず"あり、 $M$ は圧密応力比 $K$ 、あるいは $M$ の実数として表めすことができるよう。

Fig-4 は得られた $M$ と応力比 $K$ とのプロット結果で、多少の幅を持ったように示すように直線関係にある。

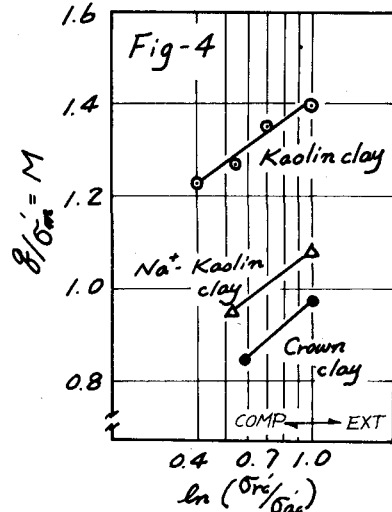


Fig-4  
圧密応力比による $M$ の変化

そこでの実験式を式で表わせば、 $K \leq 1.0$

$$M' = M_0 - S \ln K = M_0 - S \ln \left( \frac{\sigma'_c}{\sigma_{ac}} \right) \quad (1)$$

ここで $M_0$ ：等方圧密による $M$ 、 $S$ ：傾き、 $\sigma'$ ：表示である。

(2)式は、 $K$ よりも $K'$ の整理が適当と思われますが、あえて $K$ を用いた。興味深いことは、傾き $S$ が粘土の種類に関係なく $S = -0.2$ であることが $\approx$ ある。しかし、この結果のみでは有意であるとは言ひきせず、今後データの集積が必要であるが、圧密中の記憶がせん断時に発揮された一例であると思われる。

#### 5. あとがき

異方圧密の圧密応力比 $K$  or  $K'$ は圧密中に記憶され、せん断時にその記憶を発揮することを確認した。 $M$ の変化については、再度確認するつもりである。

なお、今回の実験、解析に際して、昨年度卒業生用宮利行君、また本年度4年生菊田哲、郡司恭兩君の熱意と労がかったことを記して謝意を表す。

#### ●文献

- 1) 沢川、中山：異方圧密した粘土の強度特性、第29回工学会、1974
- 2) 山内、安原：有機質粘土の $K$ 、 $\sigma'_c$ と排水クリープ率 $\gamma$ の関係、第8回工学会発表論集、1973、(3)軽量化、Extension を主とした飽和粘土の力学的諸性質、第9回工学会発表論集、1974、(4)風間他：圧密過程におけるカオリーンの構造変化、(5)風間他：圧密過程におけるカオリーンの構造変化、(6)風間他：圧密過程におけるカオリーンの構造変化、(7)風間他：圧密過程におけるカオリーンの構造変化、(8)風間他：圧密過程におけるカオリーンの構造変化、(9)風間他：圧密過程におけるカオリーンの構造変化、(10)風間他：圧密過程におけるカオリーンの構造変化、(11)風間他：圧密過程におけるカオリーンの構造変化、(12)風間他：圧密過程におけるカオリーンの構造変化、(13)風間他：圧密過程におけるカオリーンの構造変化、(14)風間他：圧密過程におけるカオリーンの構造変化、(15)風間他：圧密過程におけるカオリーンの構造変化、(16)風間他：圧密過程におけるカオリーンの構造変化、(17)風間他：圧密過程におけるカオリーンの構造変化、(18)風間他：圧密過程におけるカオリーンの構造変化、(19)風間他：圧密過程におけるカオリーンの構造変化、(20)風間他：圧密過程におけるカオリーンの構造変化、(21)風間他：圧密過程におけるカオリーンの構造変化、(22)風間他：圧密過程におけるカオリーンの構造変化、(23)風間他：圧密過程におけるカオリーンの構造変化、(24)風間他：圧密過程におけるカオリーンの構造変化、(25)Schofield, Wroth: Critical State Soil Mechanics 1968